

УДК 535.375.5 : 548.0

**О НЕКОТОРЫХ ОСОБЕННОСТЯХ
СПЕКТРОВ КОМБИНАЦИОННОГО РАССЕЯНИЯ
СВЕТА МАЛЫХ ЧАСТОТ
НЕУПОРЯДОЧЕННЫХ МОЛЕКУЛЯРНЫХ КРИСТАЛЛОВ**

M. A. Коршунов

Проводится изучение влияния неупорядоченности на характеристики линий внешних решеточных колебаний. Проводились съемки поляризационных спектров КР света малых частот кристалла *n*-хлорнитробензола с неупорядоченным расположением молекул. Сравнение проводилось с упорядоченным кристаллом *n*-дибромбензола. Сделан расчет для случая упорядоченного расположения молекул в кристалле *n*-хлорнитробензола и разупорядоченного по методу Дина. Сопоставлены результаты расчетов с экспериментом. Такое сопоставление указывает на неупорядоченное расположение молекул в кристалле. Объясняется большая ширина линий спектра малых частот и появление новых линий, запрещенных правилами отбора.

Исследование динамики решетки неупорядоченных кристаллов стало возможно с применением ЭВМ. Хотя в последние годы были предприняты значительные усилия в исследовании неупорядоченных систем, достигнутый прогресс мал в связи со значительными математическими трудностями. В кристаллах с упорядоченным расположением молекул имеет место ряд упрощений, которые не могут быть применены к неупорядоченным системам. Геометрия неупорядоченных систем не может быть выявлена с помощью рентгеноструктурного анализа. Не является строго справедливым и понятие о фонах в неупорядоченных системах, для которых колебательное возбуждение может не обладать вполне определенным волновым вектором.

Для выяснения особенностей динамики решетки неупорядоченных молекулярных кристаллов нами были изучены спектры *n*-хлорнитробензола и произведено сравнение со спектрами упорядоченного кристалла *n*-дибромбензола. Ранее с этой целью было проведено изучение неупорядоченного кристалла *n*-бронхлорбензола [1].

По рентгеноструктурным данным [2] *n*-хлорнитробензол, молекулы которого не имеют центра инверсии, кристаллизуется в центросимметричной пространственной группе C_{2h}^5 с двумя молекулами в элементарной ячейке. Молекулы *n*-хлорнитробензола имеют дипольный момент, направленный вдоль оси, соединяющей нитрогруппу и хлор. Поэтому кристаллизоваться в пространственной группе C_{2h}^5 с двумя молекулами на ячейку они могут лишь при условии статистической симметрии. Иными словами, трансляционная инвариантность выполняется, если считать направление дипольного момента в ту или другую сторону неразличимым. Можно отметить, что нитрогруппа и хлор значительно отличаются по химической природе и по силовым межмолекулярным взаимодействиям.

Для эксперимента использовался образец, приготовленный в форме прямоугольного параллелепипеда, ребра которого параллельны главным осям эллипсоида рефракции. Кристаллографические оси находились на рентгеновском дифрактометре УРС-50. Съемка спектров КР света малых частот производилась на спектрометре ДФС-24. Для возбуждения спектра

использовался луч гелий-неонового лазера. Обработка контуров линий для установления истинной ширины линий производилась по методу Сущинского [8], а разделение контуров по методу, изложенному в работе [4]. Более подробно методика эксперимента описана в [5].

По теоретико-групповому анализу в спектре КР света малых частот идеальных кристаллов с пространственной группой C_{2h}^5 и $Z=2$ разрешено шесть колебаний, связанных с вращательными качаниями молекул. Для неупорядоченных кристаллов, как указывается в работе [6], возможно снятие запрета и с трансляционных колебаний.

Результаты измерений поляризованных спектров кристалла *n*-хлорнитробензола приведены в таблице. Для сравнения там же указаны значения частот и ширин линий кристалла *n*-дибромбензола, взятые из работы [7].

<i>n</i> -Хлорнитробензол			<i>n</i> -Дибромбензол		
частота, см ⁻¹	ширина, см ⁻¹	тип	частота, см ⁻¹	ширина, см ⁻¹	тип
13.2			20	2.8	B_g
24.4	12.3	B_g	37.4	3	A_g
30.9	19.5	A_g	39.4	3.1	B_g
34	18.5	B_g	40.5	3.3	A_g
35.2	19.5	A_g	93	13	A_g
47.9	26	A_g	97	10.4	B_g
63.4	26				
68.2	25.7	B_g			
79					
94	8.5				
105	8.5				

При изучении контуров *n*-хлорнитробензола с большей дисперсией была обнаружена тонкая структура уширенных контуров и найден ряд новых линий. Спектрограммы шести компонент тензора рассеяния *n*-хлорнитробензола (*a*) и *n*-дибромбензола (*b*) приведены на рис. 1. Между спектрами обоих соединений имеется сходство по характеру спектров, но видно и отличие по количеству линий, их ширинам и структурности полос в *n*-хлорнитробензоле. При температурных исследованиях некоторых наиболее узких линий было обнаружено, что они также имеют структурность. Спектрограммы двух компонент χ_{xx} и χ_{xy} кристалла *n*-хлорнитробензола при температуре съемок 173 К приведены на рис. 2. На этих спектрах видно наличие лишних линий, которые слабо выражены на соответствующих компонентах спектра, снятых при комнатной температуре (рис. 1, *a*).

Для объяснения данных эксперимента был произведен расчет спектра частот неупорядоченного кристалла *n*-хлорнитробензола на ЭВМ *M-220* по методу Дина [8] с использованием атом-атом потенциала [9]. До настоящего времени метод Дина не применялся для расчета спектров КР света малых частот и поэтому было не ясно, дает ли этот метод удовлетворительные результаты в данном случае.

Идея вычислительной процедуры по этому методу следующая. На основе координат атомов молекул и полей межмолекулярных сил получают элементы динамической матрицы. Молекулы нумеруются так, чтобы матрица имела квазидиагональную форму с наименьшей полосой отличных от нуля элементов. При этом вычислительная процедура занимает минимальное время. Порядок матрицы равен ушестеренному числу молекул, принятых в рассмотрение. Далее на основе метода Гаусса строится последовательность полиномов, которая является последовательностью Штурма и для нее применима теорема об отрицательных собственных значениях, употребляемая Дином для расчетов спектров [8]. На основе таких расчетов строятся гистограммы, которые показывают вероятность проявления линий спектра в выбранном частотном интервале.

Силовые постоянные находились путем прямого дифференцирования потенциальной энергии, записанной в виде суммы парных атом-атомных взаимодействий [9]. Изменения распределения частот для упаковок, состоящих более чем из 40 молекул, незначительны. Поэтому для выяснения наиболее существенных особенностей спектров неупорядоченных кристаллов выбор такого числа молекул в окружении представлялся нам достаточным. Постоянные параметры в выражении для потенциала парных взаимодействий были взяты из работы Спирионова [7].

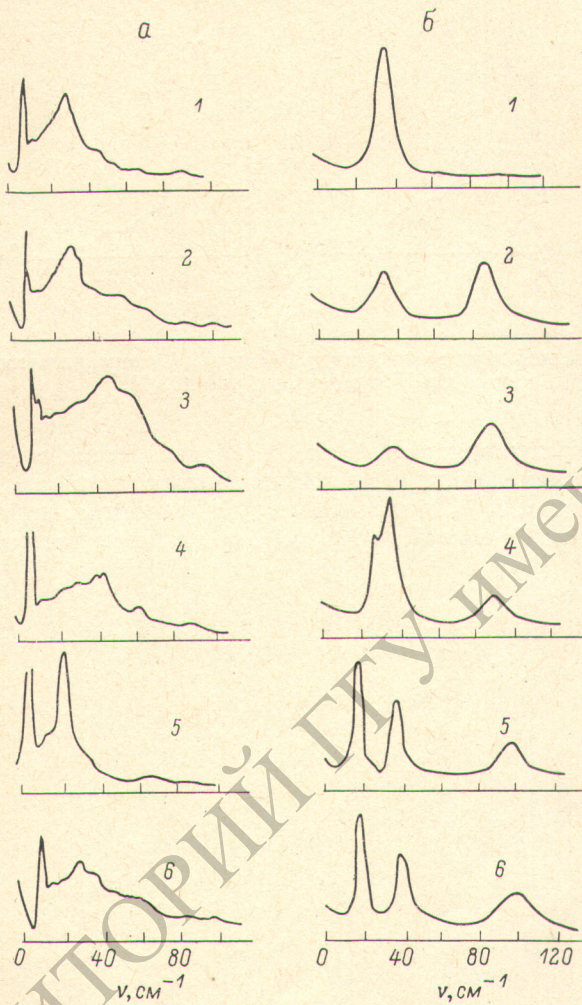


Рис. 1. Спектры КР света малых частот *n*-хлорнитробензола (а) и *n*-дигромбензола (б).
1 — компонента χ_{xx} тензора рассеяния, 2 — χ_{yy} , 3 — χ_{zz} , 4 — χ_{xzx} , 5 — χ_{xy} , 6 — χ_{yz} .

Гистограмма для случая неупорядоченного расположения молекул в кристалле *n*-хлорнитробензола, полученная по методу Дина, представлена на рис. 3, а. На рис. 3, б представлены результаты в случае предположения об упорядоченном расположении молекул в кристалле *n*-хлорнитробензола, рассчитанного по методу Борна [10]. На рис. 3, в представлен экспериментальный спектр поликристаллического образца исследуемого объекта.

Прямого сравнения гистограмм колебательных спектров со спектральными провести затруднительно, поскольку экспериментальные результаты определяются не только плотностью состояний, но и факторами интенсивности, которые в свою очередь зависят от ряда причин. Однако сравнение положений полос может дать полезную информацию. На основе такого рассмотрения общее согласие с экспериментом выглядит неплохим.

В одном из вариантов ранней структурной работы [2] строение *n*-хлорнитробензола описывалось идеальной пространственной группой $P_{\bar{c}}$. При расчете спектра в этом случае было получено девять частот. Расчет

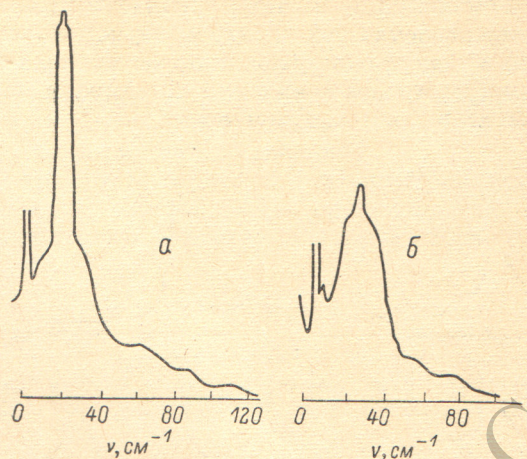


Рис. 2. Спектрограммы двух компонент χ_{xy} (а) и χ_{xx} (б) тензора рассеяния кристалла *n*-хлорнитробензола при 173 К.

спектра с учетом неупорядоченности, которая является следствием нецентросимметричности молекул *n*-хлорнитробензола, показал, как видно из гистограммы на рис. 3, а, появление структурности и лишних полос в областях от 0 до 12 cm^{-1} и от 80 до 100 cm^{-1} . Увеличение частот по сравнению

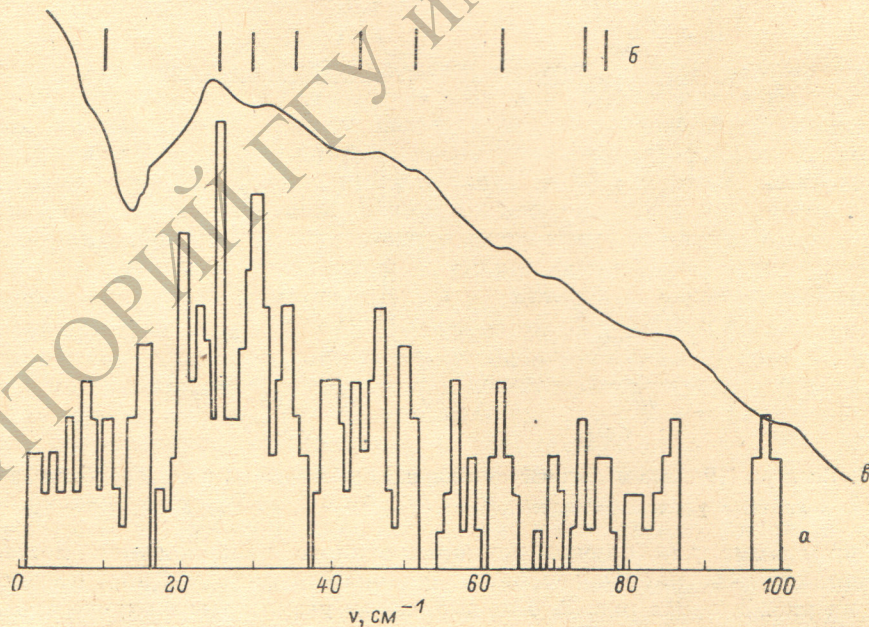


Рис. 3. Гистограмма, полученная методом Дина (а), спектр упорядоченного случая (б), экспериментальный спектр поликристалла *n*-хлорнитробензола (с).

с упорядоченным случаем объясняется тем, что при неупорядоченном расположении молекул увеличивается энергия взаимодействия и по правилам Рэлея [11] это ведет к увеличению частот.

Идентификация пиков в различных частях спектра (рис. 3, а) была получена простым анализом вычисленных спектров для различных конкретных кластеров, содержащих небольшое количество молекул. Подобный

прием был предложен в работе Дина и Бэйкона [12] для двухкомпонентных простых атомных решеток. Было найдено, что полосы в области от 80 до 100 см^{-1} появляются вследствие преимущественной разупорядоченности вдоль кристаллографической оси *a* кристалла. Разупорядоченность вдоль оси *b* отражается в основном на структурности полос в области от 50 до 80 см^{-1} и появлении добавочных полос в области от 0 до 12 см^{-1} . Можно предположить, что появление полос в высокочастотной области спектра обусловлено проявлением локальных мод определенных кластеров, существующих с определенной вероятностью в структуре. Вероятность можно оценить, сравнивая интенсивности экспериментального спектра и рассчитанного. По нашему мнению, уширение полос в экспериментальном спектре *n*-хлорнитробензола является следствием сильного разброса частот из-за различной химической природы пара-замещенных хлора и нитрогруппы и их различия в силовых взаимодействиях. Вследствие этого спектр разупорядоченной структуры сильно зависит от локальных кластеров. Если заместители имеют одну природу и их взаимодействия не сильно отличаются друг от друга, то, по-видимому, разброс частот (структурность) будет меньше и линии в спектре будут менее уширены, что мы и наблюдаем в неупорядоченном кристалле *n*-бромхлорбензола, представленном в работе [1].

Таким образом, результаты работы показывают, что метод Дина с использованием атом—атом потенциала применим для расчета спектров КР света малых частот в случае кристаллов с нецентросимметричными молекулами. Разупорядоченность влияет на уширение линий и на появление добавочных линий, запрещенных правилами отбора. По-видимому, структурность и появление некоторых линий в низкочастотной области спектра (так же как и в высокочастотной) может явиться критерием существования в системе разупорядоченности. Интенсивности же этих полос указывают на степень разупорядоченности. Ряд пиков в спектре можно объяснить проявлением локальных мод определенных кластеров.

В заключение автор считает своим приятным долгом поблагодарить В. Ф. Шабанова, по инициативе которого была выполнена эта работа.

Литература

- [1] В. Ф. Шабанов, В. П. Спиридовон, М. А. Коршунов. Ж. прикл. спектр., 25, 698, 1976.
- [2] Т. С. W. Mak, J. Trotter. Acta Cryst., 15, 1078, 1962.
- [3] М. М. Сущинский. Автореф. канд. дис., ФИАН, 1947.
- [4] J. Kakimoto, T. Shimozawa, R. Suzuki. J. Mol. Spektrosc., 23, 387, 1967.
- [5] А. В. Коршунов, А. В. Сорокин, В. П. Спиридовон, А. П. Федотов. Спектроскопия и ее применение в геофизике и химии, 171. «Наука», Новосибирск, 1975.
- [6] E. Whalley, J. E. Bertie. J. Chem. Phys., 46, 1264, 1967.
- [7] В. П. Спиридовон. Автореф. канд. дис. Красноярск, 1977.
- [8] P. Dean. Proc. Intern. Conf. Lattice Dynamics, Copenhagen, 1963.
- [9] А. И. Китайгородский. Молекулярные кристаллы. «Наука», М., 1971.
- [10] М. Борн, Х. Кунь. Динамическая теория кристаллических решеток. ИЛ, М., 1958.
- [11] Дж. Рэлей. Теория звука, 1. М., 1955.
- [12] P. Dean, M. D. Watson. Proc. Roy. Soc., A 283, 64, 1965.

Поступило в Редакцию 5 октября 1978 г.
В окончательной редакции 15 января 1979 г.